

Peatükk 2

Valik teemasid mittelineaarsest elastsusteooriast

2.1 Homogeenne ehk ühtlane deformatsioon

See on üks lihtsamaid ülesannete klassi elastsusteoorias Valime DRK, st. $x_k \equiv z_k$ ja $X_K \equiv Z_K$. Ühtlasi koab erinevus ko- ja kontravariantsete koordinaatide vahel ning edaspidi on selles paragrahvis indeksid all.

2.1.1 Põhiseosed

Homogeenset deformatsiooni esitab teisendus

$$x_k = A_{kK} X_K, \quad (2.1)$$

kus A_{kK} on konstantne ja mittesingulaarne tensor. Vastav $\sqrt{}$

pöördteisendus

$$X_K = \overset{-1}{A}_{Kk} x_k \quad (2.2)$$

ja $\overset{-1}{A}_{kK} \overset{-1}{A}_{kl} = \delta_{kl}$. Cauchy deformatsioonitensor ja vastav pöördtensor olid definieritud kujul

$$c_{kl} = G_{KL} X_{K,k} X_{L,l} \text{ ja } \overset{-1}{c}^{kl} = G_{KL} x_{k,K} x_{l,L}.$$

DRK puhul teatavasti $G_{KL} = G^{KL} = \delta_{KL}$ ja $g_{kl} = g^{kl} = \delta_{kl}$. Seega

$$c_{kl} = \delta_{KL} \overset{-1}{A}_{Kk} \overset{-1}{A}_{Ll} \text{ ja } \overset{-1}{c}_{kl} = \delta_{KL} A_{kK} A_{lL} \quad (2.3)$$

Lokaalse massi jäävuse seaduse põhjal

$$\frac{\rho}{\rho_0} = \sqrt{\text{III}_c} = \sqrt{|c_{kl}|} = \left| \overset{-1}{A}_{Kk} \right|. \quad (2.4)$$

Seega on homogeenne deformatsioon isohooriline parajasti siis kui $\left| \overset{-1}{A}_{Kk} \right| = 1$. Pingete ja deformatsioonide vahelist seost esitav olekuvõrand on saadud Greeni meetodil (vt. lk.47). Eeldame, et siseenergia on esitatav kujul $\rho_0 \varepsilon = \Sigma(I, II, III)$, loeme keskkonna isotroopseks ja lähtume järgmistest olekuvõrandeist ($I \equiv I_{-1}, \dots$):

(a) kokkusrutav keskkond —

$$t_{kl} = b_{-1} \overset{-1}{c}_{kl} + b_0 \delta_{kl} - b_1 c_{kl}, \quad (2.5)$$

kus fenomenoloogilised kordajad

$$\begin{cases} b_{-1} = \frac{2}{\sqrt{\text{III}}} \frac{\partial \Sigma}{\partial I} \\ b_0 = \frac{2}{\sqrt{\text{III}}} \left(\text{II} \frac{\partial \Sigma}{\partial \text{II}} + \text{III} \frac{\partial \Sigma}{\partial \text{III}} \right) \\ b_1 = -2\sqrt{\text{III}} \frac{\partial \Sigma}{\partial \text{II}} \end{cases} \quad (2.6)$$

(b) kokkusurumatu keskkond —

$$t_{kl} = -p\delta_{kl} + 2\frac{\partial\Sigma}{\partial I}^{-1}c_{kl} - 2\frac{\partial\Sigma}{\partial II}c_{kl}, \quad (2.7)$$

kus p on hüdrostaatiline surve.

Asendades deformatsioonitensorid (2.3) olekuvõrrandeisse (2.5) ja (2.7) saame kokkusurutavale keskkonnale võrrandi

$$t_{kl} = b_{-1}\delta_{KL}A_{kK}A_{lL} + b_0\delta_{kl} + b_1\delta_{KL}A_{Kk}^{-1}A_{lL}^{-1} \quad (2.8)$$

ja kokkusurumatule keskkonnale

$$t_{kl} = -p\delta_{kl} + 2\frac{\partial\Sigma}{\partial I}\delta_{KL}A_{kK}A_{lL} - 2\frac{\partial\Sigma}{\partial II}\delta_{KL}A_{Kk}^{-1}A_{lL}^{-1}. \quad (2.9)$$

Vaadeldaval juhul, st. homogeense deformatsiooni korral, on nii tensorid A_{kK} ja A_{Kk}^{-1} kui fenomenoloogilised kordajad b_{-1} , b_0 ja b_1 konstantsed. Pingedeformatsiooni seoste (2.8) ja (2.9) korral on tasakaaluvõrandid (Cauchy I liikumisseadus (1.140) juhul kui $\mathbf{f} = \mathbf{a} = 0$) $t_{kl,l} = 0$ kokkusurutava keskkonna puhul automaatselt rahuldatud ja kokkusurumatu keskkonna puhul kui $p = const$. Järgnevalt vaatleme mõningaid erijuhte.

2.1.2 Puhas homogeenne deformatsioon

Puhta homogeense deformatsiooni¹ puhul on deformatsioon kirjeldatud kujul

$$x_i = \lambda_i X_I, \quad i = I, \quad (2.10)$$

ehk

$$\begin{cases} A_{kK} = \lambda_k = 1 + e_k, & \text{kui } k = K \\ A_{kK} = 0, & \text{kui } k \neq K \end{cases} \quad (2.11)$$

Seega tensoreile A_{kK} ja A_{Kk}^{-1} vastavad maatriksid

$$[A_{kK}] = \begin{bmatrix} \lambda_1 & 0 & 0 \\ 0 & \lambda_2 & 0 \\ 0 & 0 & \lambda_3 \end{bmatrix} \quad \text{ja} \quad [A_{Kk}^{-1}] = \begin{bmatrix} 1/\lambda_1 & 0 & 0 \\ 0 & 1/\lambda_2 & 0 \\ 0 & 0 & 1/\lambda_3 \end{bmatrix}. \quad (2.12)$$

Ülesanne: Leida deformatsioonitensoritele c_{kl} ja c_{kl}^{-1} vastavad maatriksid!

$$[c_{kl}] = \begin{bmatrix} c_{kl}^{-1} \end{bmatrix} = \quad (2.13)$$

Invariandid:

$$\begin{cases} I = I_{c^{-1}} = \lambda_1^2 + \lambda_2^2 + \lambda_3^2, \\ II = II_{c^{-1}} = \lambda_1^2\lambda_2^2 + \lambda_2^2\lambda_3^2 + \lambda_3^2\lambda_1^2, \\ III = III_{c^{-1}} = \lambda_1^2\lambda_2^2\lambda_3^2. \end{cases} \quad (2.14)$$

Nüüd saame võrrandist (2.8) kokkusurutava materjali jaoks

$$\begin{cases} t_{11} = 2\lambda_1 \left\{ \frac{1}{\lambda_2\lambda_3} \left[\frac{\partial\Sigma}{\partial I} + (\lambda_2^2 + \lambda_3^2) \frac{\partial\Sigma}{\partial II} \right] + \lambda_2\lambda_3 \frac{\partial\Sigma}{\partial III} \right\}, \\ t_{22} = 2\lambda_2 \left\{ \frac{1}{\lambda_3\lambda_1} \left[\frac{\partial\Sigma}{\partial I} + (\lambda_3^2 + \lambda_1^2) \frac{\partial\Sigma}{\partial II} \right] + \lambda_3\lambda_1 \frac{\partial\Sigma}{\partial III} \right\}, \\ t_{33} = 2\lambda_3 \left\{ \frac{1}{\lambda_1\lambda_2} \left[\frac{\partial\Sigma}{\partial I} + (\lambda_1^2 + \lambda_2^2) \frac{\partial\Sigma}{\partial II} \right] + \lambda_1\lambda_2 \frac{\partial\Sigma}{\partial III} \right\}, \\ t_{kl} = 0, \quad k \neq l. \end{cases} \quad (2.15)$$

¹I. k. Pure homogeneous strain

Kokkusurumatu keskkonna puhul III = $\lambda_1\lambda_2\lambda_3 = 1$ ja valemist (2.9) järeltub, et

$$t_{kk} = -p + 2\lambda_k^2 \frac{\partial \Sigma}{\partial I} - \frac{2}{\lambda_k^2} \frac{\partial \Sigma}{\partial II}. \quad (2.16)$$

✓

2.1.3 Tõmme

(Lihtsa) tõmbe² puhul on kaks normaalpinge komponenti nullid ja vastavad pikenemiskoeffitsendid on võrdsed, näiteks $t_{22} = t_{33} = 0$ ja $\lambda_2 = \lambda_3$. Seega saavad kokkusurutava materjali olekuvõrrandid (2.15) kuju

$$\begin{cases} t_{11} = 2\lambda_1 \left(\frac{1}{\lambda_2^2} \frac{\partial \Sigma}{\partial I} + \frac{\partial \Sigma}{\partial II} + \lambda_2^2 \frac{\partial \Sigma}{\partial III} \right), \\ 0 = \frac{1}{\lambda_1 \lambda_2} \frac{\partial \Sigma}{\partial I} + \left(\frac{\lambda_1}{\lambda_2} + \frac{\lambda_2}{\lambda_1} \right) \frac{\partial \Sigma}{\partial II} + \lambda_1 \lambda_2 \frac{\partial \Sigma}{\partial III}. \end{cases} \quad (2.17)$$

Võrrand (2.17)₂ seob omavahel pikenemiskoeffitsendid λ_1 ja $\lambda_2 = \lambda_3$. See on transtsendentne võrrand, mille lahend $\lambda_2 = f(\lambda_1)$ vaab igal juhul täiendavat uurimist, sest (vähemalt Eringeni põhjal) ei pruugi ta olla ühene ja reaalne. Seega võib tasakaal sõltuda näiteks koormuse rakendamise viisist.

Kokkusurumatu keskkonna puhul annab $t_{22} = t_{33} = 0$ asendamine võrrandeisse (2.16) hüdrostaatilise surve

$$p = \frac{2}{\lambda_1} \frac{\partial \Sigma}{\partial I} - 2\lambda_1 \frac{\partial \Sigma}{\partial II}. \quad (2.18)$$

ja pinge

$$t_{11} = 2 \left(\lambda_1^2 - \frac{1}{\lambda_1} \right) \left(\frac{\partial \Sigma}{\partial I} + \frac{1}{\lambda_1} \frac{\partial \Sigma}{\partial II} \right) \quad (2.19)$$

²I. k. Simple extension

Kokkuvõttes on olukord kokkusurumatu materjali puhul võrreltes kokkusurutava materjaliga mõnevõrra lihtsam, sest pinge t_{11} sõltub vaid pikenemisest λ_1 . Kokkusurutava materjali puhul aga lisaks ka pikenemistest $\lambda_2 = \lambda_3$, kusjuures λ_1 ja λ_2 vahelise seose määramine võib osutuda üpris komplitseerituks. Enamgi veel, et tagada vaadeldava kokkusurutava materjali puhul kindla suurusega pikenemine, võib osutuda vajalikuks pindkoormuse rakendamine.

2.1.4 Hüdrostaatiline surve

Hüdrostaatilise surve³ puhul $\lambda_\alpha = K$ ja $t_{kl} = -p\delta_{kl}$. Seega saame võrrandeist (2.15) avaldada surve

$$p = -2 \left(\frac{1}{K} \frac{\partial \Sigma}{\partial I} + 2K \frac{\partial \Sigma}{\partial II} + K^3 \frac{\partial \Sigma}{\partial III} \right). \quad (2.20)$$

Kuna III \equiv III_c⁻¹ $\equiv 1/\text{III}_c = \lambda_1^2 \lambda_2^2 \lambda_3^2 = K^6$ ja $\rho/\rho_0 = \sqrt{\text{III}_c}$, siis $K = \sqrt[3]{\rho_0/\rho}$. Seega nii deformatsioonitensori \bar{c}^{-1} invariandid kui siseenergia avalduvad tiheduse ρ funktsioonidena ($I = I(\rho), \dots, \Sigma = \Sigma(\rho)$) ning ka olekuvõrrandi (2.20) üldkuju on $p = p(\rho)$.

2.1.5 Nihe

(Lihtsa) nihke⁴ puhul deformeerub ruut OABC rööpkülikuks OAbc (vt. joonis 2.1). Nüüd kirjeldavad deformatsiooni seosed

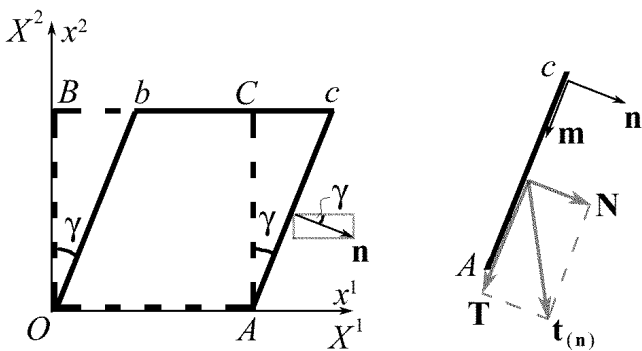
$$x^1 = X^1 + KX^2, \quad x^2 = X^2, \quad x^3 = X^3, \quad (2.21)$$

kus $K = \tan \gamma$. Seega valides

$$[A_{lL}] = \begin{bmatrix} 1 & K & 0 \\ 0 & 1 & 0 \\ 0 & 0 & 1 \end{bmatrix} \quad \text{ja} \quad \begin{bmatrix} -1 \\ A_{lL} \end{bmatrix} \begin{bmatrix} 1 & -K & 0 \\ 0 & 1 & 0 \\ 0 & 0 & 1 \end{bmatrix} \quad (2.22)$$

³I. k. Hydrostatic pressure

⁴I. k. Simple shear



Joonis 2.1: Nihe

saame ka nihke puhul esitada deformatsiooni kujul (2.1), st. ka nihe on vaadeldav homogeense deformatsioonina ja vastavalt avaldistele (2.3) avalduvad Fingeri ja Greeni deformatsioonitensorid kujul

$$\begin{bmatrix} \bar{c}_{kl} \end{bmatrix} = \begin{bmatrix} 1 + K^2 & K & 0 \\ K & 1 & 0 \\ 0 & 0 & 1 \end{bmatrix} \quad \text{ja} \quad [c_{kl}] = \begin{bmatrix} 1 & -K & 0 \\ -K & 1 + K^2 & 0 \\ 0 & 0 & 1 \end{bmatrix}. \quad (2.23)$$

Fingeri deformatsioonitensori \bar{c}_{kl} invariandid

$$I = II = 3 + K^2 \quad \text{ja} \quad III = 1. \quad (2.24)$$

Viimane võrdus viitab isohoorilisele deformatsioonile.

Asendades avaldised (2.22)–(2.24) olekuvõrrandeisse (2.5) ja arvestades võrduseid (2.6) saame pingetensori komponendid

$$\begin{cases} t_{11} = 2(1 + K^2) \frac{\partial \Sigma}{\partial I} + 2(2 + K^2) \frac{\partial \Sigma}{\partial II} + 2 \frac{\partial \Sigma}{\partial III}, \\ t_{22} = 2 \frac{\partial \Sigma}{\partial I} + 4 \frac{\partial \Sigma}{\partial II} + 2 \frac{\partial \Sigma}{\partial III}, \\ t_{33} = 2 \frac{\partial \Sigma}{\partial I} + 2(2 + K^2) \frac{\partial \Sigma}{\partial II} + 2 \frac{\partial \Sigma}{\partial III}, \\ t_{12} = 2K \left(\frac{\partial \Sigma}{\partial I} + \frac{\partial \Sigma}{\partial II} \right), \quad t_{23} = t_{31} = 0. \end{cases} \quad (2.25)$$

Deformeerunud pinna Ac ühiknormaali \mathbf{n} projektsioonid koordinaatgedel (vt. joonis 2.1)

$$\begin{cases} n_1 = \cos \gamma = (1 + K^2)^{(-1/2)}, \\ n_2 = -\sin \gamma = -K(1 + K^2)^{(-1/2)}, \quad n_3 = 0. \end{cases} \quad (2.26)$$

Keha pinnal mõjuva pingevectori koordinaattelgede sihilised komponendid on esitatud valemiga $t_{k(\mathbf{n})} = t_{kl} n_l$ (\mathbf{n} on pinna normaal ning indeksid on all, sest kasutame DRK). Seega,

$$\begin{cases} t_{1(\mathbf{n})} = 2(1 + K^2)^{(-1/2)} \left(\frac{\partial \Sigma}{\partial I} + 2 \frac{\partial \Sigma}{\partial II} + \frac{\partial \Sigma}{\partial III} \right), \\ t_{2(\mathbf{n})} = -2K(1 + K^2)^{(-1/2)} \left(\frac{\partial \Sigma}{\partial II} + \frac{\partial \Sigma}{\partial III} \right), \\ t_{3(\mathbf{n})} = 0. \end{cases} \quad (2.27)$$

Normaal- ja nihkepinged (tangentsiaalpinged) tahul Ac

$$\begin{cases} N = \mathbf{t}_{(\mathbf{n})} \cdot \mathbf{n} = t_{k(\mathbf{n})} n_k = \\ = 2(1 + K^2)^{(-1/2)} \left[\frac{\partial \Sigma}{\partial I} + (2 + K^2) \frac{\partial \Sigma}{\partial II} + (1 + K^2) \frac{\partial \Sigma}{\partial III} \right] \\ T = \mathbf{t}_{(\mathbf{n})} \cdot \mathbf{m} = t_{k(\mathbf{n})} m_k = -2K(1 + K^2)^{-1} \left(\frac{\partial \Sigma}{\partial I} + \frac{\partial \Sigma}{\partial II} \right), \end{cases} \quad (2.28)$$

kus $m_1 = n_2$ ja $m_2 = -n_1$. Deformeerumata pindadel $X^2 = \text{const.}$ ja $X^3 = \text{const.}$ mõjuvaid pingeid saab leida otse valemeist (2.25). ✓

Leitud pingevaldistest nähtub, et vastupidiselt lineaarsele teooriale, pole antud juhul võimalik saavutada nihkeseisundit vaid nihkepingete rakendamisega kuubi tahkudele. Antud juhul tuleb nihke saavutamiseks lisaks pingetele $t_{21} = t_{12}$ rakendada ka normalpinged pinged t_{kk} (vt. valemid (2.25)). Viimased võib omakorda jagada kahte ossa:

- (i) ruumala muutust — Kelvin effekti — ära hoidev hüdrostaatiline tõmme, mis on võrdne normaalpingega t_{22} ;
- (ii) keha proportsioonide muutust — Poyntingi effekti — ärahoidev osa $t_{kk} - t_{22}$.

Kokkusurumatu materjali puhul lähtume olekuvõrrandist (2.7) ning valemeist (2.23) ja (2.24) ning saame pingetensori komponendid kujul

$$\begin{cases} t_{11} = -p + 2K^2 \frac{\partial \Sigma}{\partial I}, & t_{22} = -p - 2K^2 \frac{\partial \Sigma}{\partial II}, & t_{33} = -p, \\ t_{12} = 2K \left(\frac{\partial \Sigma}{\partial I} + \frac{\partial \Sigma}{\partial II} \right), & t_{31} = t_{32} = 0. \end{cases} \quad (2.29)$$

Valides viimastes võrrandites $p = 0$ saame pinnad $X^3 = \text{const.}$ pingevabaks.

Kokkusurumatu materjali puhul loomulikult ei esine Kelvin effekti, kuid Poyntingi effekt on endiselt esindatud (vt. t_{11} ja t_{22} avaldisi).

Nii kokkusurutava kui kokkusurumatu materjali puhul

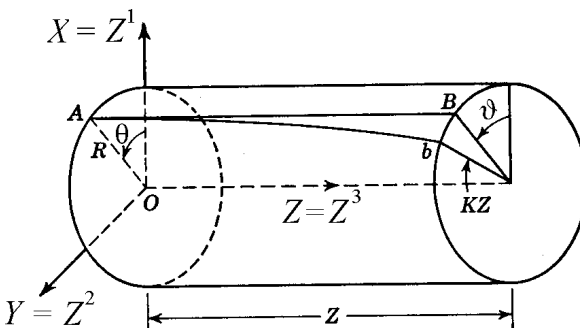
$$t_{11} - t_{22} = Kt_{12}. \quad (2.30)$$

2.2 Ringsilindri vääne

Ringsilindri ehk ümarvarda (ühtlast) väänet⁵ esitab deformatsioon

$$r = R, \quad \vartheta = \Theta + KZ, \quad z = Z, \quad (2.31)$$

kus K on vääne varda pikkusühiku kohta. Antud juhul Euleri koordinaadid $x^k \leftrightarrow r, \vartheta, z$ ja Lagrange'i koordinaadid $X^K \leftrightarrow R, \Theta, Z$, kusjuures vastavalt definitsionile (2.31) $r = R$.



Joonis 2.2: Ümarvarda vääne

Silindriliste koordinaatide puhul meetrilised tensorid

$$[g_{kl}] = \begin{bmatrix} 1 & 0 & 0 \\ 0 & r^2 & 0 \\ 0 & 0 & 1 \end{bmatrix} \quad \text{ja} \quad [G_{KL}] = \begin{bmatrix} 1 & 0 & 0 \\ 0 & R^2 & 0 \\ 0 & 0 & 1 \end{bmatrix}. \quad (2.32)$$

Deformatsioonitensorid $c_{kl} = G_{KL} X^K,_k X^L,_l$ ja $\bar{c}^{1kl} = G^{KL} x^k,_K x^l,_L$. Kuna antud on liikumise Lagrange'i kirjeldus, siis leiame algul \bar{c}^{1kl}

⁵I. k. Uniform torsion of a circular cylinder

$$\begin{bmatrix} -\bar{c}^{kl} \end{bmatrix} = \begin{bmatrix} \dots & \dots & \dots \\ \dots & \dots & \dots \\ \dots & \dots & \dots \end{bmatrix}. \quad (2.33)$$

Kuna kasutatavad olekuvõrandid on esitatud segatensorite jaoks, siis tuleb järgmisena leida $\bar{c}^1{}_l = g_{lm} \bar{c}^1{}^m$ ja viimase pöördtensor $c^k{}_l$:

$$\begin{bmatrix} \bar{c}^1{}_l \end{bmatrix} = \begin{bmatrix} \dots & \dots & \dots \\ \dots & \dots & \dots \\ \dots & \dots & \dots \end{bmatrix}, \text{ ja } [c^k{}_l] = \begin{bmatrix} \dots & \dots & \dots \\ \dots & \dots & \dots \\ \dots & \dots & \dots \end{bmatrix}. \quad (2.34)$$

Fingeri deformatsioonitensori $\bar{c}^1{}_l$ invariandid

$$\text{I} = \text{II} = 3 + K^2 r^2 \text{ ja } \text{III} = 1. \quad (2.35)$$

Seega on deformatsioon isohooriline ning seetõttu vaatleme siin vaid kokkusurumatut materjali. Pärast indeksite ülestõstmist saame olekuvõrandist (1.144)

$$\left\{ \begin{array}{l} t^{11} = -p + 2 \frac{\partial \Sigma}{\partial \text{I}} - 2 \frac{\partial \Sigma}{\partial \text{II}}, \\ r^2 t^{22} = -p + 2(1 + K^2 r^2) \frac{\partial \Sigma}{\partial \text{I}} - 2 \frac{\partial \Sigma}{\partial \text{II}}, \\ t^{33} = -p + 2 \frac{\partial \Sigma}{\partial \text{I}} - 2(1 + K^2 r^2) \frac{\partial \Sigma}{\partial \text{II}}, \\ t^{23} = 2K \left(\frac{\partial \Sigma}{\partial \text{I}} + \frac{\partial \Sigma}{\partial \text{II}} \right), \quad t^{31} = t^{21} = 0. \end{array} \right. \quad (2.36)$$

Homogeense deformatsiooni puhul (vt. lk. 53) olid Cauchy liikumisvõrandeist saadud tasakaaluvõrandid ($p = \text{const.}$) puhul automaatselt rahuldatud, nüüd see aga nii pole. Cauchy I liikumisseaduse (1.107)₁ põhjal omab tasakaaluvõrand omab kuu

$$t^{kl}{}_{;l} = 0. \quad (2.37)$$

Meil tuleb leida⁶

$$t^{kl}{}_{;l} = \dots \quad (2.40)$$

Seega tuleb leida järgmised kovariantsed osatuletised:

$$\left\{ \begin{array}{l} t^{1l}{}_{;l} = \\ t^{2l}{}_{;l} = \\ t^{3l}{}_{;l} = \end{array} \right. \quad (2.41)$$

Viimaste valemite tuletamisel on arvestatud, et avaldiste (2.36) põhjal $r^2 t^{22} = t^{11} + 2K^2 r^2 \frac{\partial \Sigma}{\partial \text{I}}$ ja $t^{33} = t^{11} - 2K^2 r^2 \frac{\partial \Sigma}{\partial \text{II}}$. Kuna avaldiste (2.35) põhjal sõltuvad invariandid I ja II vaid koordinaadist r , siis saavad tasakaaluvõrandid (2.41) olla rahuldatud vaid juhul kui

⁶Kontravariantse tensori kovariantne tuletis —

$$A^{kl}{}_{;m} = A^{kl}{}_{,m} + \left\{ \begin{array}{c} k \\ mn \end{array} \right\} A^{nl} + \left\{ \begin{array}{c} l \\ mn \end{array} \right\} A^{kn} \quad (2.38)$$

Christoffeli sümbolid silindriliste koordinatide r, ϑ ja z puhul —

$$\left\{ \begin{array}{c} 1 \\ 22 \end{array} \right\} = -r, \left\{ \begin{array}{c} 2 \\ 12 \end{array} \right\} = \left\{ \begin{array}{c} 2 \\ 21 \end{array} \right\} = \frac{1}{r}, \text{ kõik teised } \left\{ \begin{array}{c} k \\ lm \end{array} \right\} = 0. \quad (2.39)$$

$$\begin{cases} \frac{\partial}{\partial r} \overbrace{\left(-p + 2\frac{\partial \Sigma}{\partial I} - 2\frac{\partial \Sigma}{\partial II} \right)}^{t^{11}} - 2K^2 r \frac{\partial \Sigma}{\partial I} = 0 \\ \frac{\partial p}{\partial \vartheta} = 0; \quad \frac{\partial p}{\partial z} = 0. \end{cases} \quad (2.42)$$

Seega sõltub hüdrostaatiline pinge p vaid koordinaadist r ja seega saab ta määräata integreerides avaldist $(2.42)_1$, st.

$$p = 2 \left(\frac{\partial \Sigma}{\partial I} - \frac{\partial \Sigma}{\partial II} - K^2 \int_0^r r \frac{\partial \Sigma}{\partial I} dr \right) + C_1. \quad (2.43)$$

Konstanti C_1 määramiseks kasutame tingimust $t_{11} = 0$ silindri pinnaal $r = a$, st. avaldiste $(2.36)_1$ ja (2.43) põhjal

$$C_1 = 2K^2 \int_0^a r \frac{\partial \Sigma}{\partial I} dr. \quad (2.44)$$

Asendame viimase võrdusse (2.43) , ning tulemuse omakorda avaldistesse (2.36) ning saame

$$\begin{cases} t^{11} = -2K^2 \int_r^a r \frac{\partial \Sigma}{\partial I} dr, \\ r^2 t^{22} = 2K^2 \left(r^2 \frac{\partial \Sigma}{\partial I} - \int_r^a r \frac{\partial \Sigma}{\partial I} dr \right), \\ t^{33} = -2K^2 \left(r^2 \frac{\partial \Sigma}{\partial II} + \int_r^a r \frac{\partial \Sigma}{\partial I} dr \right), \\ t^{23} = 2K \left(\frac{\partial \Sigma}{\partial I} + \frac{\partial \Sigma}{\partial II} \right), \quad t^{31} = t^{21} = 0. \end{cases} \quad (2.45)$$

Silindri vabal otsal $z = l$ on ühiknormaal $\mathbf{n} = (0, 0, 1)$. Seega pinivektori $\mathbf{t}_{(\mathbf{n})}$ komponendid $t_{(\mathbf{n})}^k = t^{kl} n_l$

$$t_{(\mathbf{n})}^1 = 0, \quad t_{(\mathbf{n})}^2 = t^{23}, \quad t_{(\mathbf{n})}^3 = t^{33}. \quad (2.46)$$

Järelikult radiaalne pinge puudub, kuid eksisteerivad tangentsiaalne pinge (nihkepinge) ja silindri telje sihiline normaalpinge. Viimase läbi ilmnebki Pointingi effekt. Kuna eksperimentide põhjal on tuletised $\frac{\partial \Sigma}{\partial I}$ ja $\frac{\partial \Sigma}{\partial II}$ mittenegatiivsed, siis on pinge $t^{33} \leq 0$. Kui varada otsa ei rakenda seda pinget tasakaalustavat normaaljõudu, siis silindriline varras püüab väändel lüheneda. Lineaarses teoorias normaalpinged t^{kk} hüljatakse kui lõpmata väikesed (võrreldes pingega t^{23}).

Silindri otspinnal mõjuvate pindjõudude summaarse mõju (peavektori ja peamomendi) leidmiseks on vaja teada pingetensoori füüsikalisi komponente. Teatavasti on kontravariantse tensori füüsikalised komponendid defineeritud järgmiselt

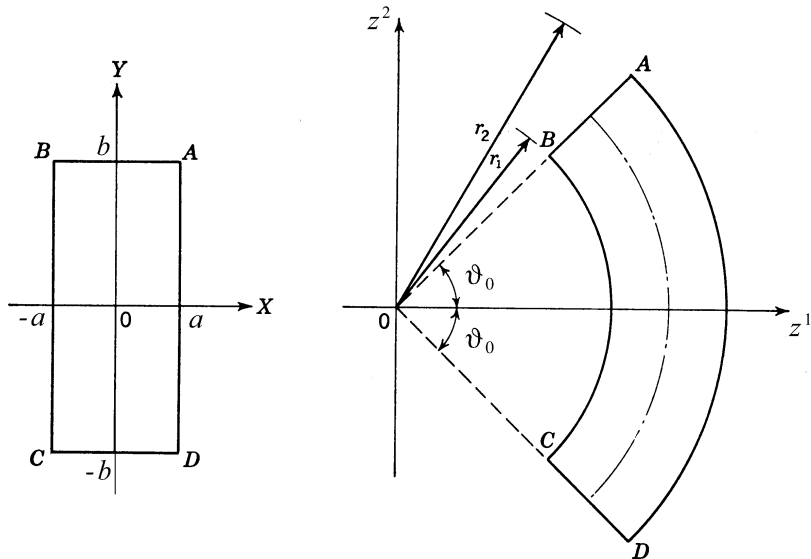
$$t^{(k)(l)} = \sqrt{g_{ll} g_{kk}} t^{kl}. \quad (2.47)$$

Seega $t^{(1)(1)} = t^{11}$, $t^{(2)(2)} = r^2 t^{22}$, $t^{(3)(3)} = t^{33}$ ja $t^{(2)(3)} = rt^{23}$ ning otspinnal mõjuvate pindjõudude $(0, rt^{23}, t^{33})$ peamoment ja peavektor avalduvad kujul

$$\begin{cases} M_z = 2\pi \int_0^a r^3 t^{23} dr, \\ N = 2\pi \int_0^a rt^{33} dr. \end{cases} \quad (2.48)$$

2.3 Ploki paine

Vaatleme ploki (tala) painet⁷. Lagrange'i koordinaatideks on valitud DRK ($X^1 \equiv X, X^2 \equiv Y, X^3 \equiv Z$) ja Euleri koordinaatideks silindrilised koordinaadid ($x^1 \equiv r, x^2 \equiv \vartheta, x^3 \equiv z$).



Joonis 2.3: Ploki paine — tasandid $X = -a$ ja $X = a$ deformuvad silindrilisteks pindadeks $r = r_1$ ja $r = r_2$; tasandid $Y = \pm b$ tasanditeks $\vartheta = \pm\vartheta_0$; tasandid $Z = \text{const.}$ tasanditeks $z = \text{const.}$

Joonisel 2.3 kujutatud deformatsioon on kirjeldatav valemitega

$$r = f(X), \quad \vartheta = g(Y), \quad z = h(Z). \quad (2.49)$$

⁷I. k. *Bending of a block*. Vt. ka pideva keskkonna mehaanika loengukonspekt paragraahv 2.10

Meetrilised tensorid

$$G_{KL} = G^{KL} = \delta_{KL},$$

$$[g_{kl}] = \begin{bmatrix} 1 & 0 & 0 \\ 0 & r^2 & 0 \\ 0 & 0 & 1 \end{bmatrix}, \quad [g^{kl}] = \begin{bmatrix} 1 & 0 & 0 \\ 0 & r^{(-2)} & 0 \\ 0 & 0 & 1 \end{bmatrix}.$$

Deformatsioonitensorid $c_{kl} = G_{KL}X^K,_k X^L,_l$, $\bar{c}^{1kl} = G^{KL}x^k,_K x^l,_L$ ja $\bar{c}^{1k}_l = g_{lm} \bar{c}^{1km}$. Kui tähistame $f' = \partial f / \partial X$, $g' = \partial g / \partial Y$ ja $h' = \partial h / \partial Z$, siis

$$\begin{aligned} [x^k,_K] &= \begin{bmatrix} f' & 0 & 0 \\ 0 & g' & 0 \\ 0 & 0 & h' \end{bmatrix}, \\ [\bar{c}^{1kl}] &= \begin{bmatrix} \dots & 0 & 0 \\ 0 & \dots & 0 \\ 0 & 0 & \dots \end{bmatrix}, \quad [\bar{c}^{1k}_l] = \begin{bmatrix} \dots & 0 & 0 \\ 0 & \dots & 0 \\ 0 & 0 & \dots \end{bmatrix}. \end{aligned} \quad (2.50)$$

Deformatsioonitensori \bar{c}^{1k}_l invariandid (arvestades, et $r \equiv f$)

$$\begin{cases} \text{I} = f'^2 + r^2 g'^2 + h'^2 = f'^2 + f^2 g'^2 + h'^2, \\ \text{II} = f'^2 r^2 g'^2 + f'^2 h'^2 + r^2 g'^2 h'^2 = f^2 f'^2 g'^2 + f'^2 h'^2 + f^2 g'^2 h'^2, \\ \text{III} = f'^2 r^2 g'^2 h'^2 = f^2 f'^2 g'^2 h'^2. \end{cases} \quad (2.51)$$

Selleks, et protsess oleks isohooriline peab III = 1. See on tagatud kui $ff' = A$, $g' = C$ ja $h' = D = 1/AC$, kus A, C, D on konstandid. Seega saame konkreetseerida funktsioonide f, g ja h sisu — tuues sisse veel ühe konstanti B võime avaldada

$$r = \sqrt{2AX + B}, \quad \vartheta = CY, \quad z = DZ. \quad (2.52)$$

Deformatsioonitensorid ja deformatsioonitensori \bar{c}^{1k}_l invariandid

saavad nüüd kuju

$$\begin{aligned} \left[\begin{smallmatrix} -1 \\ c^k_l \end{smallmatrix} \right] &= \begin{bmatrix} A^2/r^2 & 0 & 0 \\ 0 & C^2r^2 & 0 \\ 0 & 0 & D^2 \end{bmatrix}, \quad \left[\begin{smallmatrix} c^k_l \end{smallmatrix} \right] = \begin{bmatrix} r^2/A^2 & 0 & 0 \\ 0 & 1/C^2r^2 & 0 \\ 0 & 0 & 1/D^2 \end{bmatrix} \\ I &= \frac{A^2}{r^2} + C^2r^2 + D^2, \quad II = \frac{1}{D^2} + \frac{r^2}{A^2} + \frac{1}{C^2r^2}, \quad III = 1. \end{aligned} \quad (2.53)$$

ning konstantide A, B, C ja D määramiseks on järgmised valemid (vt. joonis 2.3) \ddagger

$$A = \frac{r_2^2 - r_1^2}{4a}, \quad B = \frac{r_2^2 + r_1^2}{2}, \quad C = \frac{\vartheta_0}{b}, \quad D = \frac{4ab}{\vartheta_0(r_2^2 - r_1^2)}. \quad (2.54)$$

Kuna tegu on isohoorilise deformatsiooniga, siis valime Ariano-Rivlini olekuvõrandi (1.144) (kokkusurumatu materjali jaoks)

$$t^k_l = -p\delta^k_l + 2\frac{\partial\Sigma}{\partial I}c^k_l - 2\frac{\partial\Sigma}{\partial II}c^k_l.$$

Arvestades deformatsioonitensorite avaldisi (2.53)_{1,2} on seega pingete ja deformatsioonide vahelised seosed järgmised

$$\begin{cases} t^1_1 = -p + \frac{2A^2}{r^2}\frac{\partial\Sigma}{\partial I} - \frac{2r^2}{A^2}\frac{\partial\Sigma}{\partial II}, \\ t^2_2 = -p + 2C^2r^2\frac{\partial\Sigma}{\partial I} - \frac{2}{C^2r^2}\frac{\partial\Sigma}{\partial II}, \\ t^3_3 = -p + 2D^2\frac{\partial\Sigma}{\partial I} - \frac{2}{D^2}\frac{\partial\Sigma}{\partial II}, \\ t^k_l = 0, \quad k \neq l. \end{cases} \quad (2.55)$$

Tasakaaluvõrandid $t^l_{k;l} = 0$ saadakse Cauchy I liikumisseadusest

(1.106). Seega on meil vaja leida kovariantsed osatuletised⁸

$$t^l_{k;l} = t^l_{k,l} - \binom{n}{kl} t^l_n + \binom{l}{ln} t^n_k, \quad (2.56)$$

$$\begin{cases} t^l_{1;l} = \\ t^l_{2;l} = \\ t^l_{3;l} = \end{cases} \quad (2.57)$$

Seega saavad tasakaaluvõrandid kuju

$$\frac{\partial t^1_1}{\partial r} + \frac{t^1_1 - t^2_2}{r} = 0, \quad \frac{\partial t^2_2}{\partial \vartheta} = \frac{\partial t^3_3}{\partial z} = 0. \quad (2.58)$$

Vastavalt valemitele (2.53)₃₋₅ avaldub siseenergia kujul $\rho_0\varepsilon = \Sigma(I, II) = \Sigma(r)$. Seega valemite (2.58) ja (2.55)_{2,3} põhjal ka $p = p(r)$. Avaldame valemitest (2.55)_{1,2}

$$\frac{t^1_1 - t^2_2}{r} = 2\left(\frac{A^2}{r^3} - C^2r\right)\frac{\partial\Sigma}{\partial I} - 2\left(\frac{r}{A^2} - \frac{1}{C^2r^3}\right)\frac{\partial\Sigma}{\partial II}. \quad (2.59)$$

Teiselt poolt, kuna $\Sigma(I, II) = \Sigma(r)$, siis arvestades (2.53)₃₋₅

$$\begin{aligned} \frac{\partial\Sigma}{\partial r} &= \frac{\partial\Sigma}{\partial I}\frac{\partial I}{\partial r} + \frac{\partial\Sigma}{\partial II}\frac{\partial II}{\partial r} = \dots \\ &= -\frac{t^1_1 - t^2_2}{r} \end{aligned} \quad (2.60)$$

⁸Segatensori kovariantne tulevis —

$$A^k_{l;m} = A^k_{l,m} - \binom{n}{lm} A^k_n + \binom{k}{mn} A^n_l$$

Christoffeli sümbolid silindriliste koordinaatide r, ϑ ja z puhul —

$$\left\{ \begin{smallmatrix} 1 \\ 22 \end{smallmatrix} \right\} = -r, \quad \left\{ \begin{smallmatrix} 2 \\ 12 \end{smallmatrix} \right\} = \left\{ \begin{smallmatrix} 2 \\ 21 \end{smallmatrix} \right\} = \frac{1}{r}, \quad \text{kõik teised } \left\{ \begin{smallmatrix} k \\ lm \end{smallmatrix} \right\} = 0.$$

Avaldiste (2.58)₁ ja (2.60) põhjal $\frac{\partial}{\partial r}(t^1{}_1 - \Sigma) = 0$. Selle integreerimisel saame

$$t^1{}_1 = \Sigma + K, \quad (2.61)$$

kus K on konstant. Asendades tulemused (2.60) ja (2.61) olekuvõrrandeisse (2.55) saame pingetensorite normaalkomponentidele⁹ avaldised

$$\begin{cases} t^1{}_1 = \Sigma + K, \\ t^2{}_2 = 2 \left(C^2 r^2 - \frac{A^2}{r^2} \right) \left(\frac{\partial \Sigma}{\partial I} - D^2 \frac{\partial \Sigma}{\partial II} \right) = r \frac{\partial \Sigma}{\partial r} + \Sigma + K, \\ t^3{}_3 = 2 \left(D^2 - \frac{A^2}{r^2} \right) \frac{\partial \Sigma}{\partial I_{c^{-1}}} \left(\frac{\partial \Sigma}{\partial I} - r^2 C^2 \frac{\partial \Sigma}{\partial II} \right) + \Sigma + K. \end{cases} \quad (2.62)$$

Vastavalt saadud avaldistele on pinged kõverdunud pindadel $r = r_1$ ja $r = r_2$

$$t^1{}_1(r_1) = \Sigma(r_1) + K \text{ ja } t^1{}_1(r_2) = \Sigma(r_2) + K. \quad (2.63)$$

Kui vaadeldav deformatsioon on saavutatud vaid tala otstesse rakendatud koormuste abil, siis peavad ülaltoodud pinged (2.63) olema nullid, st.,

$$\Sigma(r_1) = \Sigma(r_2) = -K. \quad (2.64)$$

Viimane tingimus tähendab ühtlasi, et $I(r_1) = I(r_2)$ ja $II(r_1) = II(r_2)$, kust

$$A = Cr_1r_2, \text{ ehk } A^2 = \frac{r_1r_2}{D}. \quad (2.65)$$

Seega jäävad vabalt valitaveteks konstantideks näiteks D ja r_1 . †

⁹NB! Segatensori normaalkomponendid osutuvad ka füüsikalisteks komponentideks, sest

$$t^{(k)}{}_{(l)} = t^k{}_l \sqrt{\frac{g_{kk}}{g_{ll}}}.$$

Paindemoment tala paksususühiku kohta

$$\mathcal{M}_z = \int_{r_1}^{r_2} rt^2{}_2 dr = \frac{1}{2} (r_2^2 - r_1^2) K + \int_{r_1}^{r_2} r \Sigma dr \quad (2.66)$$

Kui on teada Σ ja \mathcal{M}_z siis saab võrrandit (2.66) kasutada raadiuse r_1 määramiseks.

Deformeerunud oleku neutraalkiht $r = r_0$ on määratud tingimusega $* c^2{}_2 = C^2 r^2 = 1$. Seega arvestades (2.65) $r_0^2 = Dr_1r_2$. Kui $D = 1$, siis $z = Z = const.$ ja $r_0^2 = r_1r_2$. Sama tulemuse annab ka lineaarne teooria.

Poyntingi effekt avaldub jällegi selles, et pingे $t^3{}_3$ pole null. Järelikult tuleb puhta painde saavutamiseks rakendada vastassuuinalist pindkoormust.

2.4 Lõplik tasapinnaline deformatsioon¹⁰

Suur hulk elastsusteorioorülesandeid on oma olemuselt tasapinnalised. Nende lahendamine lihtsustub tunduvalt kui esitada siirdeväli kujul

$$x^a = x^a(X^1, X^2), \quad x^3 = \lambda X^3, \quad (2.67)$$

kus λ on konstant. Tasapinnalise deformatsiooni puhul indeksid a, b, c, d omavad väärtsusi 1 ja 2. Esimene avaldistest (2.67) kirjeldab deformatsioone (x^1, x^2) tasapinnas ja teine ühtlast pikenemist x^3 sihis. Siinjuures eeldatakse, et $x^3 \perp (x^1, x^2)$ tasapinnaga. Sobi-vaks kõverjooneliseks koordinaatsüsteemiks selliste protsesside kirjeldamisel on on näiteks silindriline koordinaatsüsteem. Meetriline tensor ja deformatsioonitensorid on nüüd esitatavad kujul

$$[g_{kl}] = \begin{bmatrix} [g_{ab}] & 0 \\ 0 & 1 \end{bmatrix}, \quad [\bar{c}^k_l] = \begin{bmatrix} [\bar{c}^1_a] & 0 \\ 0 & \lambda^2 \end{bmatrix}, \quad [c^k_l] = \begin{bmatrix} [c^a_b] & 0 \\ 0 & \lambda^{-2} \end{bmatrix}. \quad (2.68)$$

Siinjuures on tensorid g_{ab} , \bar{c}^1_a ja c^a_b vaid muutujate x^1 ja x^2 funktsionid. Dünaamika ülesannete puhul võivad x^a ja λ sõltuda lisaks ka ajast t .

Deformatsioonitensori \bar{c}^k_l invariandid saab nüüd avaldada kujul *

$$\begin{cases} I = \bar{c}^1_k = \bar{c}^1_a a + \lambda^2 = I_1 + \lambda^2, \\ II = \dots = \lambda^2 I_1 + I_2 \lambda^2, \\ III = \dots = \lambda^2 I_2, \end{cases} \quad \text{kus} \quad \begin{cases} I_1 = \bar{c}^1_a a, \\ I_2 = |\bar{c}^1_a| . \end{cases} \quad (2.69)$$

¹⁰Lõplikku mõistetakse siin kui vastandit lõpmata väikesele. I. k. *Finite plane deformation*.

Cayley-Hamtoni teoreemi¹¹ põhjal

$$\bar{c}^1_a \bar{c}^1_b - I_1 \bar{c}^1_a b + I_2 \delta^a_b = 0 \mid \cdot c^b_d \Rightarrow \quad (2.70)$$

$$I_2 c^a_b = I_1 \delta^a_b - \bar{c}^1_a b \quad (2.71)$$

Asendades (2.69) ja (2.71) isotroopse kokkusrutava keskkonna olekuvõrandisse (vt. Fingeri olekuvõrand (1.142), (1.143) lk. 49), saame

$$\begin{cases} t^a_b = \frac{2}{\lambda \sqrt{I_2}} \left[\left(\frac{\partial \Sigma}{\partial I} + \lambda^2 \frac{\partial \Sigma}{\partial II} \right) \bar{c}^1_a b + \left(\frac{\partial \Sigma}{\partial II} + \lambda^2 \frac{\partial \Sigma}{\partial III} \right) I_2 \delta^a_b \right], \\ t^3_3 = \frac{2\lambda}{\sqrt{I_2}} \left(\frac{\partial \Sigma}{\partial I} + I_1 \frac{\partial \Sigma}{\partial II} + I_2 \frac{\partial \Sigma}{\partial III} \right), \quad t^a_3 = t^3_a = 0. \end{cases} \quad (2.72)$$

Nüüd oleks mõttetas esitada $\Sigma = \Sigma(I, II, III) = \Sigma(I_1, I_2, \lambda^2)$. Seega avaldiste (2.69) põhjal

$$\begin{cases} \frac{\partial \Sigma}{\partial I_1} = \frac{\partial \Sigma}{\partial I} + \lambda^2 \frac{\partial \Sigma}{\partial II}, & \frac{\partial \Sigma}{\partial I_2} = \frac{\partial \Sigma}{\partial II} + \lambda^2 \frac{\partial \Sigma}{\partial III}, \\ \frac{\partial \Sigma}{\partial \lambda^2} = \frac{\partial \Sigma}{\partial I} + I_1 \frac{\partial \Sigma}{\partial II} + I_2 \frac{\partial \Sigma}{\partial III}. \end{cases} \quad (2.73)$$

Viimase kahe avaldise põhjal

$$\begin{cases} t^a_b = \frac{2}{\lambda \sqrt{I_2}} \left(\frac{\partial \Sigma}{\partial I_1} \bar{c}^1_a b + \frac{\partial \Sigma}{\partial I_2} I_2 \delta^a_b \right), \\ t^3_3 = \frac{2\lambda}{\sqrt{I_2}} \frac{\partial \Sigma}{\partial \lambda^2}, \quad t^a_3 = t^3_a = 0. \end{cases} \quad (2.74)$$

¹¹Maatriks $[c^k_l]$ rahuldab karakteristikku võrandit

$$\mathbf{c}^3 - I_c \mathbf{c}^2 + II_c \mathbf{c} - III_c \mathbf{I} = 0,$$

kus $\mathbf{c} \equiv [c^k_l]$ ja \mathbf{I} on ühikmaatriks. Tensorkujul

$$c^k_m c^m_n c^n_l - I_c c^k_m c^m_l + II_c c^k_l - III_c \delta^k_l = 0$$

Kokkusurumatu materjali puhul $\text{III} = \lambda^2 \text{I}_2 = 1$ ja seega $\Sigma = \Sigma(\text{I}_1, \lambda^2)$ ning analoogselt valemitega (2.74) saame Ariano-Rivlini olekuvõrrandeist (1.144) (lk. 49)

$$\begin{cases} t^a{}_b = -p\delta^a{}_b + 2\frac{\partial\Sigma}{\partial\text{I}_1} c^{-1}{}_b{}^a, \\ t^3{}_3 = -p + 2\lambda^2 \frac{\partial\Sigma}{\partial\lambda^2}, \quad t^a{}_3 = t^3{}_a = 0. \end{cases} \quad (2.75)$$

Cauchy I liikumisseadus $t^{kl}{}_{;l} + \rho(f^k - a^k) = 0$ saab nüüd tasakaaluvõrrandina kuju

$$t^{ab}{}_{;b} = 0. \quad (2.76)$$

Seega tuleb kokkusurutava materjali puhul lahendada võrrand (2.76) koos olekuvõrrandiga (2.74) ja kokkusurumatu materjali puhul koos olekuvõrrandiga (2.75).

Pindjoud olid esitatud valemiga $t^k{}_{(\mathbf{n})} = t^{lk} n_l$. Nüüd

$$t^a{}_{(\mathbf{n})} = t^{ba} n_b; \quad t^3{}_{(3)} = t^{33}. \quad (2.77)$$

Järgnevalt toome sisse Airy' pingefunktsiooni, et veelgi lihtsustada tasapinnalise deformatsiooniülesande lahendamist. Pideva keskkonna mehaanika kursuses on näidatud, et tasakaaluvõrrandile $t^{kl}{}_{;l} = 0$ saab anda kuju

$$\frac{\partial}{\partial x^k} (\sqrt{g} \mathbf{t}^k) = 0, \text{ kus pingevektor } \mathbf{t}^k = t^{kl} \mathbf{g}_l. \quad (2.78)$$

Antud juhul saame esitada pingevektori kujul

$$\mathbf{t}^a = t^{ba} \mathbf{g}_b, \quad \mathbf{t}^3 = t^{33} \mathbf{g}_3. \quad (2.79)$$

Kuna g ja \mathbf{t}^a on vaid x^1 ja x^2 funktsioonid, siis lihtsustub (2.78)₁ kujule

$$\frac{\partial}{\partial x^a} (\sqrt{g} \mathbf{t}^a) = 0. \quad (2.80)$$

Võrrand (2.80) on rahuldatud kui pingevektori \mathbf{t}^a avaldada kujul

$$\mathbf{t}^a = \epsilon^{ca} \boldsymbol{\chi}_{,c}, \text{ kus } \begin{cases} \epsilon^{11} = \epsilon^{22} = 0 \\ \epsilon^{12} = -\epsilon^{21} = \frac{1}{\sqrt{g}} \end{cases} \quad (2.81)$$

ja $\boldsymbol{\chi}$ on vektor tasandil $x^3 = 0$, st.

$$\boldsymbol{\chi} = \chi^b \mathbf{g}_b \text{ ja } \frac{\partial \boldsymbol{\chi}}{\partial x^c} \equiv \boldsymbol{\chi}_{,c} = \chi^b{}_{;c} \mathbf{g}_b. \quad (2.82)$$

Kokku annavad avaldised (2.81)₁ ja (2.82)₂

$$\mathbf{t}^a = \epsilon^{ca} \chi^b{}_{;c} \mathbf{g}_b. \quad (2.83)$$

Kuna kovariantne osatuletis on võetud tasandil, kus $x^3 = 0$, siis saavad Christoffeli II liiki sümbolid kuju

$$\left\{ \begin{matrix} a \\ bc \end{matrix} \right\} = g^{ad} [bc, d] = \frac{1}{2} g^{ad} (g_{bd,c} + g_{cd,b} - g_{bc,d}). \quad (2.84)$$

Avaldiste (2.79) ja (2.83) põhjal pingetensor

$$t^{ab} = \epsilon^{cb} \chi^a{}_{;c}. \quad (2.85)$$

Cauchy II liikumisseaduse põhjal peab pingetensor olema sümmeetrisiline. See on tagatud, kui tuua sisse Airy' pingefunktsoon $\phi(x^1, x^2)$ selliselt, et

$$\chi^a = \epsilon^{da} \phi_{,d}. \quad (2.86)$$

Nüüd

$$t^{ab} = \epsilon^{cb} \epsilon^{da} \phi_{;dc} = \epsilon^{bc} \epsilon^{ad} \phi_{;cd}. \quad (2.87)$$

Võrrandi (2.87) lahendi saab esitada kujul

$$\phi_{;b}^a = \epsilon^{ac} \epsilon_{bd} t_c^d = t_c^c \delta_a^b - t_b^a. \quad (2.88)$$

Asendades (2.74)₁ võrrandisse (2.88) saame pingefunktsooni avaldise kokkusurumatu materjali jaoks

$$\phi_{;b}^a = \frac{2}{\lambda \sqrt{I_2}} \left[\left(I_1 \frac{\partial \Sigma}{\partial I_1} + I_2 \frac{\partial \Sigma}{\partial I_2} \right) \delta_a^b - \frac{\partial \Sigma}{\partial I_1} \bar{c}^a_b \right] \quad (2.89)$$

Asendades aga (2.75)₁ võrrandisse (2.88) saame pingefunktsooni avaldise kokkusurutava materjali jaoks

$$\phi_{;b}^a = \left(-p + 2I_1 \frac{\partial \Sigma}{\partial I_1} \right) \delta_a^b - 2 \frac{\partial \Sigma}{\partial I_1} \bar{c}^a_b. \quad (2.90)$$

Avaldistest (2.89) on võimalik ellimineerida kas $\frac{\partial \Sigma}{\partial I_1}$ või $\frac{\partial \Sigma}{\partial I_2}$ kui võtta arvesse, et

$$\phi_{;a}^a = \frac{2}{\lambda \sqrt{I_2}} \left(I_1 \frac{\partial \Sigma}{\partial I_1} + 2I_2 \frac{\partial \Sigma}{\partial I_2} \right). \quad (2.91)$$

Vastavad alternatiivsed kujud valemile (2.89) on

$$\begin{aligned} \phi_{;b}^a - \frac{1}{2} \phi_{;c}^c \delta_a^b &= \frac{2}{\lambda \sqrt{I_2}} \frac{\partial \Sigma}{\partial I_1} \left(\frac{I_1}{2} \delta_a^b + \bar{c}^a_b \right) \text{ ja} \\ \phi_{;b}^a - \left(\delta_a^b - \frac{1}{I_1} \bar{c}^a_b \right) \phi_{;c}^c &= \frac{4\sqrt{I_2}}{\lambda I_1} \frac{\partial \Sigma}{\partial I_2} \left(-\frac{I_1}{2} \delta_a^b + \bar{c}^a_b \right). \end{aligned} \quad (2.92)$$

Kokkusurumatu materjali puhul saame võrrandist (2.90)

$$\phi_{;a}^a = -2p + 2I_1 \frac{\partial \Sigma}{\partial I_1} \quad (2.93)$$

ja avaldistest (2.90) võime ellimineerida kas p või $\frac{\partial \Sigma}{\partial I_1}$. Vastavad alternatiivsed kujud on järgmised:

$$\begin{aligned} \phi_{;b}^a - \frac{1}{2} \phi_{;c}^c \delta_a^b &= 2 \frac{\partial \Sigma}{\partial I_1} \left(\frac{I_1}{2} \delta_a^b - \bar{c}^a_b \right) \text{ ja} \\ \phi_{;b}^a - \left(\delta_a^b - \frac{1}{I_1} \bar{c}^a_b \right) \phi_{;c}^c &= \frac{2p}{I_1} \left(\frac{I_1}{2} \delta_a^b - \bar{c}^a_b \right). \end{aligned} \quad (2.94)$$

Kuna saadud võrrandid sisaldavad deformatsioonitensorit \bar{c}^a_b , siis tuleb enne ülesande lahendamist rahuldada pidevus ehk sobivustinguimused¹²

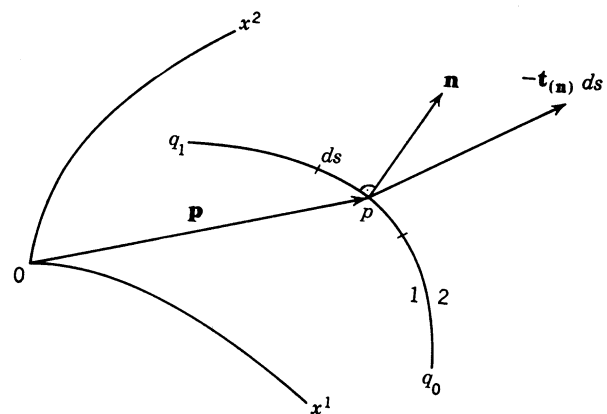
$$R^{\left(\frac{-1}{c}\right)}_{klmn} = 0. \quad (2.95)$$

Vaadeldaval tasapinnalisel juhul vaid komponent R_{1212} pole samaselt null. Seega sobivustingimuste rahuldamiseks tuleb avaldaada \bar{c}^a_b avaldistest (2.89) või (2.90) (või nende alternatiivkujudest (2.92) või (2.94)) sõltuvana Airy' pingefunktsoonist ϕ ning seejärel asendada saadud tulemus tingimusse $R^{\left(\frac{-1}{c}\right)}_{1212} = 0$. Tulemuseks on neljandat järku mittelineaarse võrrand ϕ suhtes. Lineaarses teoorias on selleks biharmoniline võrrand $\nabla^4 \phi = 0$.

Järgnevalt püüame selgitada suuruste χ ja ϕ füüsikalist sisu. Leiame summaarse jõu millega mõjub piirkond 1 piirkonnale 2 läbi kaare $q_0 q_1$. Jõud \mathbf{r} on esitatud x^3 pikkusühiku kohta. Lähtume sellest, et

$$\mathbf{r} = - \int_{q_0}^{q_1} \mathbf{t}_{(\mathbf{n})} ds. \quad (2.96)$$

¹²I. k. *Compatibility conditions* (vt. pideva keskkonn amehaanika loengukonspekt)



Joonis 2.4: Suuruste χ ja ϕ füüsikaline sisu — piirkondade 1 ja 2 vastastikune mõju.

Kuna

$$\mathbf{t}_{(n)} = \mathbf{t}^a n_a = \mathbf{t}^a \epsilon_{ab} \underbrace{\frac{dx^b}{ds}}_{n_a}. \quad (2.97)$$

Asendades (2.97) ja (2.81) avaldisse (2.96) saame

$$\begin{aligned} \mathbf{r} &= - \int_{q_0}^{q_1} \epsilon^{ca} \chi_{,c} \epsilon_{ab} \frac{dx^b}{ds} ds = - \int_{q_0}^{q_1} \chi_{,b} dx^b = \chi \quad \text{ehk} \\ \mathbf{r} &= \chi = \chi^a \mathbf{g}_a = \epsilon^{ba} \phi_{,b} \mathbf{g}_a. \end{aligned} \quad (2.98)$$

Jõuga analoogne moment

$$\mathbf{m} = (p^a \phi_{,a} - \phi) \mathbf{g}^3, \quad (2.99)$$

st momendi moodul

$$m = p^a \phi_{,a} - \phi. \quad (2.100)$$

Kui vaadeldava piirkonna rajajoon on koormusvaba, siis $\chi = 0$ kõigis rajapunktides. Seega avaldise (2.98)₂ põhjal ka $\phi_{,1} = \phi_{,2} = 0$ ja $\phi = \text{const.}$ kõigis rajapunktides.

2.5 Elastsuskonstantide eksperimentaalne määramine

2.5.1 Sissejuhatus

Klassikalises elastsusteoorias vaadeldakse homogeenseid isotroopseid lineaarselt elastseid kehasid ja kasutatakse kahte materjalikonstanti — nn. Lamé konstanti — λ_e ja μ_e ning olekuvõrrandina üldistatud Hooke'i seadust

$$t^k_l = \lambda_e \tilde{e}^m_m \delta^k_l + 2\mu_e \tilde{e}^k_l. \quad (2.101)$$

Nende konstantide määramine on suhteliselt lihtne. On vaja sooritada vaid kaks eksperimenti — tõmme ja nihe. Mittelineaarse teooria olekuvõrandid homogeensele isotroopsele materjalile omavad aga tunduvalt keerukamat kuju (vt. alajaotus 1.3 lk. 48). Kokkusurutava materjali puhul näiteks

$$t^k_l = b_{-1} \bar{c}^k_l + b_0 \delta^k_l + b_1 c^k_l,$$

kus konstandid b_α sõltuvad deformatsioonitensori invariantidest I, II ja III. Elastsuskonstantide määramine on siin tunduvalt keerulisem, sest keskkonna mittelineaarsuse tõttu ei saa kasutada superpoositsiooni printsipi. Koefitsendid b_α püütakse määräta läbi potentiaali Σ . See lihtsustab küll asja, kuid kokkusurutavate materjalide puhul on praktiliste tulemuste saamine, vähemalt Eringeni andmeil, ülimalt problemaatiline.

Alljärgnevalt vaatleme kokkusurumatuid materjale, mille olekuvõrandid avalduvad kujul (1.144)

$$t^k_l = -p \delta^k_l + 2 \frac{\partial \Sigma}{\partial I} \bar{c}^k_l - 2 \frac{\partial \Sigma}{\partial II} c^k_l, \quad (2.102)$$

kus variandid vastavad deformatsioonitensorile \bar{c}^k_l , $\Sigma = \Sigma(I, II)$ ja $III = 1$. Kuna deformeerumata olekus $I = II = 3$, siis on leitud,

et potentsiaali Σ võib esitada järgmise rea kujul

$$\Sigma = \sum_{m,n=0}^{\infty} A_{mn}(I - 3)^m(II - 3)^n, \quad (2.103)$$

kus A_{mn} on konstandid ja $A_{00} = 0$. Kuna väikeste deformatsioonide puhul on suurused $I - 3$ ja $II - 3$ väikesed, siis piirdutakse reaga

$$\Sigma = A_{10}(I - 3) + A_{01}(II - 3). \quad (2.104)$$

Kummilaadsete materjalide puhul kasutatakse potentsiaali

$$\Sigma = A_{10}(I - 3). \quad (2.105)$$

Selliseid materjale nimetatakse inglise keeles «neo-hookean materials.» Kui (2.105) ei rahulda siis kasutatakse ka potentsiaali

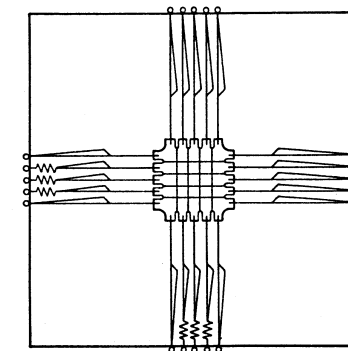
$$\Sigma = A_{10}(I - 3) + f(II - 3), \quad (2.106)$$

kus f sõltub vaid argumendist II.

Järgnevalt esitatakse ülevaade mõningatest eksperimentidest, mis algelt on teostatud Rivlini ja Sandersi poolt. Nimetatud teadlased korraldasid terve rea eksperimente «kummist lehega», kus tekitaati selliseid homogeenseid deformatsioone, kus üks invariantidest I või II omas fikseeritud väärust. Eksperimentideeria tulemusena saadi olekuparametrite $\frac{\partial \Sigma}{\partial I}$ ja $\frac{\partial \Sigma}{\partial II}$ ning invariantide I ja II vahelised sõltuvused. Nii suurte kui väikeste deformatsioonide puhul ilmnes eksperimentaalseid ebatäpsusi, näiteks kui invariantid I ja II olid viiest väiksemad, muutusid tulemused väga tundlikuks eksperimenti vigade suhtes. Olekuvõrrandis (2.102) esinev tundmatu rõhk p määritati rajatingimustest.

2.5.2 Puhas homogeenne deformatsioon (kokkusurumatu lehe ühtlane laienemine)

Katse skeem on kujutatud joonisel 2.5. Ruudukujulist õhukest kummist lehte tömmatakse risti külgedega. Pikenemiskoeftsentide λ_1 ja λ_2 arvutamiseks tuleb mõõta lehele joonistatud ruutude külgede pikkused deformeerunud olekus. Ruudu külgede pikkusühiku kohta mõjuvad jõud t_1 ja t_2 saadakse mõõtes vedrudes mõjuvad jõud.



Joonis 2.5: Puhta homogeense deformatsiooni eksperiment — «kummist lehe» ühtlane tõmme ristuvates suundades.

Lähtume olekuvõrrandeist (2.16), st.

$$t_{kk} = -p + 2\lambda_k^2 \frac{\partial \Sigma}{\partial I} - \frac{2}{\lambda_k^2} \frac{\partial \Sigma}{\partial II}. \quad (2.107)$$

Kuna pindadel $z = \pm H/2$ (kus H on lehe paksus) $t_{33} = 0$, siis saame viimasest avaldisest ellimineerida p —

$$\begin{cases} t_{11} = 2 \left(\lambda_1^2 - \frac{1}{\lambda_1^2 \lambda_2^2} \right) \left(\frac{\partial \Sigma}{\partial I} + \lambda_2^2 \frac{\partial \Sigma}{\partial II} \right), \\ t_{22} = 2 \left(\lambda_2^2 - \frac{1}{\lambda_1^2 \lambda_2^2} \right) \left(\frac{\partial \Sigma}{\partial I} + \lambda_1^2 \frac{\partial \Sigma}{\partial II} \right), \\ t_{33} = t_{kl} = 0, \quad k \neq l \end{cases} \quad (2.108)$$

Kokkusurumatuuse tõttu $\lambda_1 \lambda_2 \lambda_3 = 1$. Seega invariandid

$$I = \lambda_1^2 + \lambda_2^2 + \frac{1}{\lambda_1^2 \lambda_2^2}, \quad II = \frac{1}{\lambda_1^2} + \frac{1}{\lambda_2^2} + \lambda_1^2 \lambda_2^2, \quad III = \lambda_1^2 \lambda_2^2 \lambda_3^2 = 1. \quad (2.109)$$

Lehe serva pikkusühiku kohta mõjuvad jõud t_1 ja t_2 avalduvad järgmiselt

$$t_1 = t_{11} \frac{H}{\lambda_1}, \quad t_2 = t_{22} \frac{H}{\lambda_2}, \quad (2.110)$$

kus nii serva pikkus kui lehe paksus H on mõõdetud deformeerumata olekus. Avaldistest (2.108) ja (2.110) saame avaldada $\frac{\partial \Sigma}{\partial I}$ ja $\frac{\partial \Sigma}{\partial II}$ sõltuvana jõududest t_1 ja t_2 —

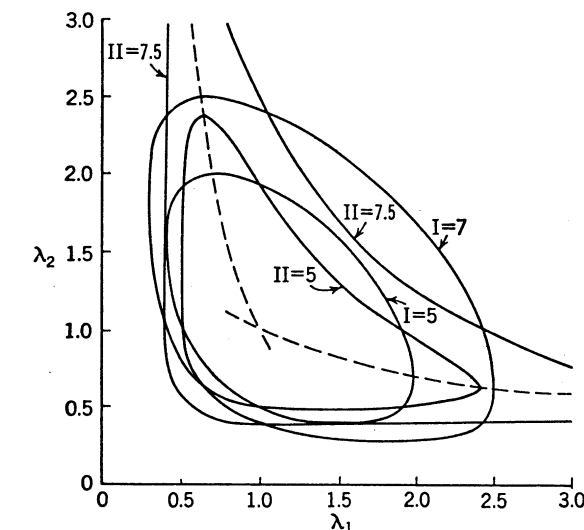
$$\begin{cases} \frac{\partial \Sigma}{\partial I} = \frac{1}{2(\lambda_1^2 - \lambda_2^2)} \left[\frac{\lambda_1^3(t_1/H)}{\lambda_1^2 - \lambda_1^{-2}\lambda_2^{-2}} - \frac{\lambda_2^3(t_2/H)}{\lambda_2^2 - \lambda_1^{-2}\lambda_2^{-2}} \right] \\ \frac{\partial \Sigma}{\partial II} = \frac{1}{2(\lambda_2^2 - \lambda_1^2)} \left[\frac{\lambda_1(t_1/H)}{\lambda_1^2 - \lambda_1^{-2}\lambda_2^{-2}} - \frac{\lambda_2(t_2/H)}{\lambda_2^2 - \lambda_1^{-2}\lambda_2^{-2}} \right] \end{cases} \quad (2.111)$$

Mõõtes nüüd t_1 ja t_2 etteantud λ_1 ja λ_2 puhul, saab leida vastavad $\frac{\partial \Sigma}{\partial I}$ ja $\frac{\partial \Sigma}{\partial II}$ väärtsused. Avaldiste (2.109) kaudu saame omakorda vastavad I ja II väärtsused ning meil on võimalik esitada $\frac{\partial \Sigma}{\partial I}$ ja $\frac{\partial \Sigma}{\partial II}$ kui invariantide I ja II funktsioone.

Eksperimendi käigus muudeti λ_1 ja λ_2 väärtsusi nii, et emb-kumb, kas I või II oli jääv. Avaldise (2.109) põhjal

$$\begin{cases} \lambda_2^2 = \frac{1}{2} \left\{ (I - \lambda_1^2) \pm \sqrt{(I - \lambda_1^2)^2 - 4\lambda_1^{-2}} \right\}, & I = const. \\ \lambda_2^2 = \frac{1}{2\lambda_1^2} \left\{ (II - \lambda_1^{-2}) \pm \sqrt{(II - \lambda_1^{-2})^2 - 4\lambda_1^2} \right\}, & II = const. \end{cases} \quad (2.112)$$

Seega pole pikenemiskofitsente λ_1 ja λ_2 võimalik suvaliselt ette anda — fikseeritud I ja II puhul on tegu suletud kõveratega $\lambda_1 - \lambda_2$ tasandil (vt. joonis 2.6). Punktiirjooned esitavad kõveraid $\lambda_2 = \lambda_1^{-2}$ ($t_2 = 0$) ja $\lambda_1 = \lambda_2^{-2}$ ($t_1 = 0$), mis vastavad tõmbele servade sihis.



Joonis 2.6: Pikenemiskofitsentide λ_1 ja λ_2 vaheline sõltuvus invariantide I ja II erinevate väärtsuste puhul.

Tehtud eksperimendid näitasid, et

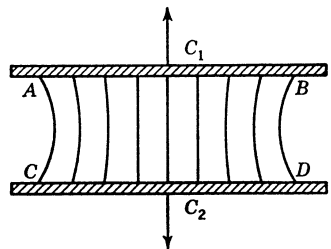
- $\partial \Sigma / \partial I$ on konstantne piirkonnas $5 \leq I < 12$ ja $5 \leq II \leq 30$ ning $\partial \Sigma / \partial II$ on vaid II funktsioon;
- suhe $(\partial \Sigma / \partial II) / (\partial \Sigma / \partial I) \approx 1/8$ invariandi II väikeste väärustuse jaoks ning kahanes kiiresti suuremate puhul;
- avaldist (2.106) võib kasutada siseenergia Σ ja invariantide vahelise sõltuvuse aproksimeerimiseks (mõistlikes piires).

2.5.3 Puhas nihe

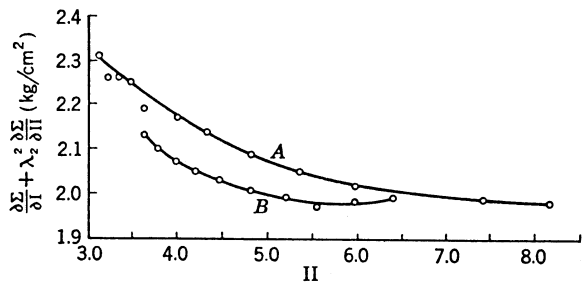
Puhas nihe¹³ on selline homogeenne deformatsioon, mille puhul üks pikenemiskoeffitsentistest, näiteks λ_2 , hoitakse konstantne ja teisi kahte muudetakse. Valemite (2.108)₁ ja (2.110) põhjal

$$t_1 = 2H \left(\lambda_1 - \frac{1}{\lambda_1^3 \lambda_2^2} \right) \left(\frac{\partial \Sigma}{\partial I} + \lambda_2^2 \frac{\partial \Sigma}{\partial II} \right). \quad (2.113)$$

Hoides nüüd $\lambda_2 = const.$ ja mõõtes t_1 erinevate λ_1 puhul saame joonistada suuruse $\partial \Sigma / \partial I + \lambda_2^2 \partial \Sigma / \partial II$ sõltuvana teisest invariandist II. Kuna suurusel $\partial \Sigma / \partial I$ leiti olema konstantne vääratus $5 \leq I \leq 12$ ja $5 \leq II \leq 30$ puhul, siis saame esitada ka $\partial \Sigma / \partial II$ ja II vahelise sõltuvuse.



Joonis 2.7: Puhta nihke eksperiment.



Joonis 2.8: Suurus $\partial \Sigma / \partial I + \lambda_2^2 \partial \Sigma / \partial II$ sõltuvana invariandist II. Kõver A vastab puhtale nihkele ($\lambda_2 = 1$) ja kõver B nihkele koos tõmbega ($\lambda_2 = 0,776$).

Joonis 2.7 kirjeldab vaadeldavat eksperimenti. Kitsas õhuke kummiriba on kinnitatud klambrite C_1 ja C_2 vahelle. Kui rakendada risti klambritega jõud t_1 (mõõdetunan pikkusühiku kohta) siis tekib joonisel kujutatud deformatsioon. Riba keskosa deformatsioon on aproksimeeritav puhta nihke kaudu. Joonisel 2.8 esitab kõver A katsetulemusi $\lambda_2 = 1$ jaoks ja kõver B $\lambda_2 = 0,776$ jaoks. Eelmise- •

¹³I. k. *Pure shear*

na vaadeldud eksperimendis tuvastati, et $(\partial \Sigma / \partial II) / (\partial \Sigma / \partial I) = 1/8$ kui $II = 5$. $\lambda_2 = 1$ puhul saab nüüd joonisel 2.8 määrata suuruse $\partial \Sigma / \partial I + \partial \Sigma / \partial II$ väärustuse ($\lambda_2 = 1$!). Edasi saab leida, et $II = 5$ puhul $\partial \Sigma / \partial I = 1,84 \text{ kg/cm}^2$ ja $\partial \Sigma / \partial II = 0,23 \text{ kg/cm}^2$. Eelmise eksperimendi põhjal eeldatakse, et $\partial \Sigma / \partial I = 1,84 \text{ kg/cm}^2 = const.$ ja $\partial \Sigma / \partial II$ sõltub vaid invariandist II. Seega saab määrata $\partial \Sigma / \partial II$ väärused suvalise II väärustuse jaoks.

Kõver B joonisel 2.8 esitab eksperimendi tulemusi $\lambda_2 = 0,776$ jaoks. Need tulemused lähevad hästi kokku tulemustega, mis saadakse avaldisest $\partial \Sigma / \partial I + 0,776^2 \partial \Sigma / \partial II$, kui suurused $\partial \Sigma / \partial I$ ja $\partial \Sigma / \partial II$ võtta eksperimendist, kus $\lambda_2 = 1$.

2.5.4 Tõmme

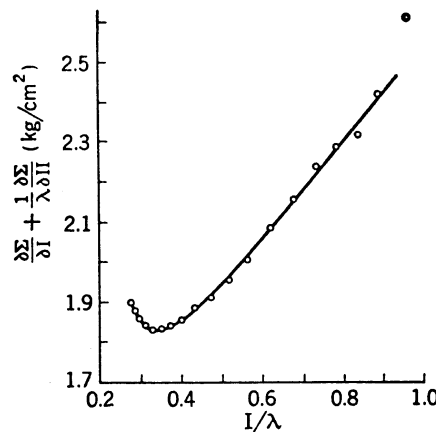
Tõmbe¹⁴ puhul $t_{22} = t_{33} = 0$. Seega võttes avaldises (2.108)₂ $t_{22} = 0$ saame $\lambda_1 = \lambda_2^{-2} \stackrel{\text{tähist}}{=} \lambda$. Avaldis (2.108)₁ ja invariandid saavad nüüd kuju

$$t_{11} = 2 \left(\lambda^2 - \frac{1}{\lambda} \right) \left(\frac{\partial \Sigma}{\partial I} + \frac{1}{\lambda} \frac{\partial \Sigma}{\partial II} \right), \quad I = \lambda^2 + \frac{2}{\lambda}, \quad II = 2\lambda + \frac{1}{\lambda^2}. \quad (2.114)$$

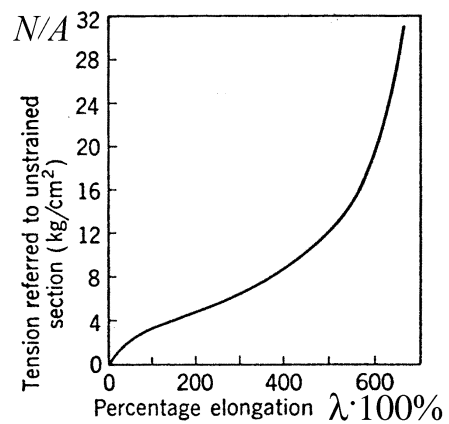
Katsekehaks on siin ühtlase ristlõikega «kummikang». Rakendatav pikijoud $N = At_{11}/\lambda$ (A — ristlõike algpindala). Seega mõõtes jõu N iga λ jaoks saame arvutada $\partial \Sigma / \partial I + 1/\lambda \cdot \partial \Sigma / \partial II$. Tulemused on esitatud joonisel 2.9 (NB! horisontaalteljel on $1/\lambda$). Kui kasutati eelmistes eksperimentides saadud suuruste $\partial \Sigma / \partial I$ ja $\partial \Sigma / \partial II$ väärusi, siis leiti, et avaldise $\partial \Sigma / \partial I + 1/\lambda \cdot \partial \Sigma / \partial II$ väärus ühtis väga hästi eksperimendi tulemustega.

Joonisel 2.10 on esitatud tõmbejoud jagatuna algpindalaga sõltuvana pikenemiskoeffitsendist λ .

¹⁴I. k. *Simple extention*



Joonis 2.9: Suuruste $1/\lambda$ ja $\partial\Sigma/\partial I + 1/\lambda \cdot \partial\Sigma/\partial II$ vaheline sõltuvus.



Joonis 2.10: Tõmbejõu sõltuvus pikenemiskoeffitsendist

2.5.5 Ühtlane kahedimensionaalne tõmme

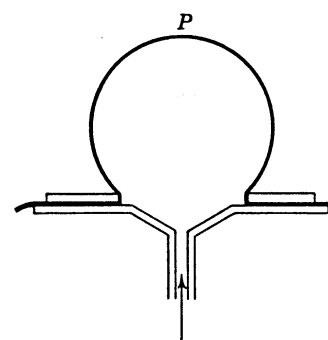
Tähistame

$$\lambda_1 = \lambda_2 = \lambda, \quad \lambda_3 = 1/\lambda^2 = \lambda', \quad \text{ehk } \lambda^2 = 1/\lambda'. \quad (2.115)$$

Joonisel 2.11 kujutatud katse puhul puhatakse servadest kinnitatud kummikile alla õhku ja saavutatakse meid huvitav deformatsioon vaadeldava katsekeha keskosas. Joonis 2.12 esitab suuruste $\partial\Sigma/\partial I + 1/\lambda' \cdot \partial\Sigma/\partial II$ ja $1/\lambda'$ vahelist sõltuvust (NB! kohal $1/\lambda' = 1$ toimub skaala muutus). Tabelis 1 on esitatud $\partial\Sigma/\partial II$ ja II vaheline sõltuvus, eeldades, et $\partial\Sigma/\partial I = \text{const}$. Rõhk p keras ja tõmme T pikkusühiku kohta deformeeritud kiles (punktis P) on seotud valemiga

$$p = \frac{2T}{r}, \quad (2.116)$$

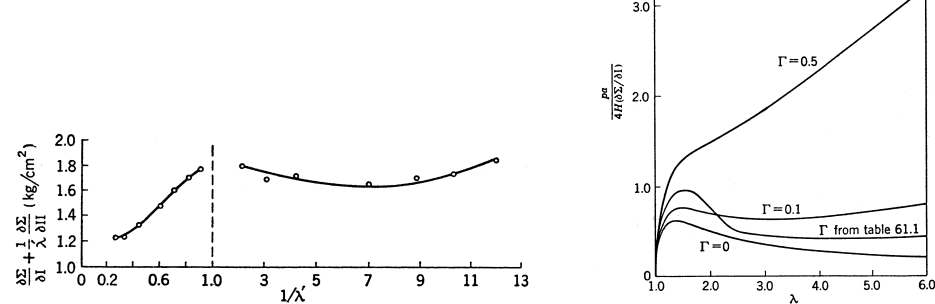
kus r on kõverusraadius punktis P .



Joonis 2.11: Ühtlane kahedimensionaalne tõmme

Tabel 1

$\lambda^2 \equiv 1/\lambda'$	II	$\frac{\partial\Sigma/\partial II}{\partial\Sigma/\partial I}$
0,5	4,25	0,16
0,6	3,69	0,26
0,7	3,35	0,33
0,8	3,14	0,39
3	9,67	0,12
5	25,4	0,06
7	49,3	0,04
9	81,2	0,03
11	121	0,035



Joonis 2.12: Ühtlane kahedimensionaalne tõmme — suuruste $\partial\Sigma/\partial I + 1/\lambda' \cdot \partial\Sigma/\partial II$ ja $1/\lambda'$ vaheline sõltuvus.

Joonis 2.13: Ühtlane kahedimensionaalne tõmme — suuruste p ja λ vaheline sõltuvus.

Kuna deformeeritud olekus on kile paksus H/λ^2 , siis saame valemitest (2.108), (2.115) ja (2.116), et

$$p = \frac{2Ht_{11}}{r\lambda^2} = \frac{4H}{r} \left(1 - \frac{1}{\lambda^6}\right) \left(\frac{\partial\Sigma}{\partial I} + \lambda^2 \frac{\partial\Sigma}{\partial II}\right). \quad (2.117)$$

Joonise 2.12 ja tabeli 1 koostamisel ongi kasutatud valemit (2.117), st. mõõdetakse p ja r iga λ jaoks ning leitakse suurus $\partial\Sigma/\partial I + 1/\lambda' \cdot \partial\Sigma/\partial II$. Joonis 2.13 esitab rõhu p ja pikenemise λ vahelisi seoseid erinevate $\Gamma = (\partial\Sigma/\partial II)/(\partial\Sigma/\partial I)$ väärustega jaoks (a — sfäärilise «õhupalli» algraadius.)

Näide. Õhupalli täispuhumisel on kõige suuremat rõhku tarvis algul. Kui palli diameeter on saavutanud teatud väärtsuse, siis palli suurendamiseks vajalik surve väheneb (võrdle joonis 2.13).

Sisukord

Eessõna	1
1 Sissejuhatus	3
1.1 Kirjandus	4
1.2 Ülevaade pideva keskkonna mehaanika põhimõistetest, -hüpoteesidest ja -võrrandeist.	6
1.2.1 Põhieeldused ja -hüpoteesid	6
1.2.2 Skalaar, vektor, tensor	9
1.2.3 Baasivektorid ja meetrilised tensorid	11
1.2.4 Liikumise kirjeldamine	12
1.2.5 Deformatsioon ja siire	13
1.2.6 Kiirus ja kiirendus	23
1.2.7 Mass	26
1.2.8 Jõud	27
1.2.9 Liikumishulk	29
1.2.10 Kineetiline moment	30
1.2.11 Pinge	31
1.2.12 Pingetensor	33

1.2.13	Liikumishulga ja kineetilise momendi lokaalse tasakaalu seadused — Cauchy liikumisseadused	35
1.2.14	Liikumisvõrrandid Lagrange'i koordinaatides	36
1.2.15	Energia ja entroopia	38
1.2.16	Pidevustingimused ehk sobivustingimused .	44
1.2.17	Olekuvõrrandid	45
1.3	Elastsusteooria põhivõrrandite süsteem	48
2	Valik teemasid mittelineaarsest elastsusteooriast	51
2.1	Homogeenne ehk ühtlane deformatsioon	51
2.1.1	Põhiseosed	51
2.1.2	Puhas homogeenne deformatsioon	53
2.1.3	Tõmme	55
2.1.4	Hüdrostaatiline surve	56
2.1.5	Nihe	56
2.2	Ringsilindri vääne	60
2.3	Ploki paine	65
2.4	Lõplik tasapinnaline deformatsioon	71
2.5	Elastsuskonstantide eksperimentaalne määramine .	78
2.5.1	Sissejuhatus	78
2.5.2	Puhas homogeenne deformatsioon (kokkusurumatu lehe ühtlane laienemine) . .	80
2.5.3	Puhas nihe	83
2.5.4	Tõmme	84
2.5.5	Ühtlane kahedimensionaalne tõmme	85